

Darstellungen unendlich-dimensionaler Lie-Algebren
Lie-Algebren unendlich-dimensionaler Matrizen

Nils Carqueville

Überblick

- zentrale Erweiterung

Überblick

- zentrale Erweiterung
- Lie-Algebren unendlich-dimensionaler Matrizen

Überblick

- zentrale Erweiterung
- Lie-Algebren unendlich-dimensionaler Matrizen
- Konstruktion eines geeigneten Darstellungsraumes

Überblick

- zentrale Erweiterung
- Lie-Algebren unendlich-dimensionaler Matrizen
- Konstruktion eines geeigneten Darstellungsraumes
- Darstellungen „neuer“ Lie-Algebren

Überblick

- zentrale Erweiterung
- Lie-Algebren unendlich-dimensionaler Matrizen
- Konstruktion eines geeigneten Darstellungsraumes
- Darstellungen „neuer“ Lie-Algebren
- Darstellungen „alter“ Lie-Algebren

Erinnerung

Unendlich-dimensionale Lie-Algebren:

Oszillator-Algebra $\mathcal{A} = \{a_n, n \in \mathbb{Z}; \hbar\}$ mit

$$[\hbar, a_n] = 0, \quad [a_m, a_n] = m \delta_{m+n} \hbar$$

Erinnerung

Unendlich-dimensionale Lie-Algebren:

Oszillator-Algebra $\mathcal{A} = \{a_n, n \in \mathbb{Z}; \hbar\}$ mit

$$[\hbar, a_n] = 0, \quad [a_m, a_n] = m \delta_{m+n} \hbar$$

Witt-Algebra

$$\mathfrak{d} = \mathbb{C} \left\{ d_n = -z^{n+1} \frac{d}{dz} : n \in \mathbb{Z}; [d_m, d_n] = (m - n) d_{m+n} \right\}$$

mit Darstellung auf $V_{\alpha, \beta} = \mathbb{C}\{v_k = z^{k+\alpha} (dz)^\beta\}$:

$$d_n(v_k) = (k - \alpha - \beta (n + 1)) v_{k-n}$$

Erinnerung

Unendlich-dimensionale Lie-Algebren:

Witt-Algebra

$$\mathfrak{d} = \mathbb{C} \left\{ d_n = -z^{n+1} \frac{d}{dz} : n \in \mathbb{Z}; [d_m, d_n] = (m - n) d_{m+n} \right\}$$

mit Darstellung auf $V_{\alpha, \beta} = \mathbb{C}\{v_k = z^{k+\alpha} (dz)^\beta\}$:

$$d_n(v_k) = (k - \alpha - \beta(n + 1)) v_{k-n}$$

Erinnerung

Unendlich-dimensionale Lie-Algebren:

Witt-Algebra

$$\mathfrak{d} = \mathbb{C} \left\{ d_n = -z^{n+1} \frac{d}{dz} : n \in \mathbb{Z}; [d_m, d_n] = (m - n) d_{m+n} \right\}$$

mit Darstellung auf $V_{\alpha, \beta} = \mathbb{C}\{v_k = z^{k+\alpha} (dz)^\beta\}$:

$$d_n(v_k) = (k - \alpha - \beta(n + 1)) v_{k-n}$$

Virasoro-Algebra $\mathbf{Vir} = \mathfrak{d} \oplus \mathbb{C}c$

Erinnerung

Unendlich-dimensionale Lie-Algebren:

Witt-Algebra

$$\mathfrak{d} = \mathbb{C} \left\{ d_n = -z^{n+1} \frac{d}{dz} : n \in \mathbb{Z}; [d_m, d_n] = (m - n) d_{m+n} \right\}$$

mit Darstellung auf $V_{\alpha, \beta} = \mathbb{C}\{v_k = z^{k+\alpha} (dz)^\beta\}$:

$$d_n(v_k) = (k - \alpha - \beta(n + 1)) v_{k-n}$$

Virasoro-Algebra $\mathbf{Vir} = \mathfrak{d} \oplus \mathbb{C}c$ mit

$$[d_m, c] = 0, \quad [d_m, d_n] = (m - n) d_{m+n} + \delta_{m+n} \frac{m^3 - m}{12} c$$

zentrale Erweiterung

Definition: Sei \mathfrak{a} eine Abelsche Lie-Algebra über \mathbb{C} und \mathfrak{g} eine Lie-Algebra über \mathbb{C} . Eine exakte Sequenz von Lie-Algebra-Homomorphismen

$$0 \longrightarrow \mathfrak{a} \xrightarrow{\iota} \mathfrak{h} \xrightarrow{\pi} \mathfrak{g} \longrightarrow 0$$

heißt **zentrale Erweiterung von \mathfrak{g} durch \mathfrak{a}** , wenn $[\mathfrak{a}, \mathfrak{h}] = 0$.

zentrale Erweiterung

Definition: Sei \mathfrak{a} eine Abelsche Lie-Algebra über \mathbb{C} und \mathfrak{g} eine Lie-Algebra über \mathbb{C} . Eine exakte Sequenz von Lie-Algebra-Homomorphismen

$$0 \longrightarrow \mathfrak{a} \xrightarrow{\iota} \mathfrak{h} \xrightarrow{\pi} \mathfrak{g} \longrightarrow 0$$

heißt **zentrale Erweiterung von \mathfrak{g} durch \mathfrak{a}** , wenn $[\mathfrak{a}, \mathfrak{h}] = 0$.

Uns interessiert nur der Fall $\mathfrak{h} = \mathfrak{g} \oplus \mathfrak{a}$.

zentrale Erweiterung

Definition: Sei \mathfrak{a} eine Abelsche Lie-Algebra über \mathbb{C} und \mathfrak{g} eine Lie-Algebra über \mathbb{C} . Eine exakte Sequenz von Lie-Algebra-Homomorphismen

$$0 \longrightarrow \mathfrak{a} \xrightarrow{\iota} \mathfrak{h} \xrightarrow{\pi} \mathfrak{g} \longrightarrow 0$$

heißt **zentrale Erweiterung von \mathfrak{g} durch \mathfrak{a}** , wenn $[\mathfrak{a}, \mathfrak{h}] = 0$.

Betrachte folgende Eigenschaften einer Abbildung $\Theta : \mathfrak{g} \times \mathfrak{g} \longrightarrow \mathfrak{a}$:

- (♥) Θ ist bilinear und alternierend
- (♠) $\Theta(a, [b, c]) + \Theta(b, [c, a]) + \Theta(c, [a, b]) = 0$

zentrale Erweiterung

Betrachte folgende Eigenschaften einer Abbildung $\Theta : \mathfrak{g} \times \mathfrak{g} \longrightarrow \mathfrak{a}$:

(♥) Θ ist bilinear und alternierend

(♠) $\Theta(a, [b, c]) + \Theta(b, [c, a]) + \Theta(c, [a, b]) = 0$

zentrale Erweiterung

Betrachte folgende Eigenschaften einer Abbildung $\Theta : \mathfrak{g} \times \mathfrak{g} \longrightarrow \mathfrak{a}$:

(♥) Θ ist bilinear und alternierend

(♠) $\Theta(a, [b, c]) + \Theta(b, [c, a]) + \Theta(c, [a, b]) = 0$

Definition:

$$C^2(\mathfrak{g}, \mathfrak{a}) := \{ \Theta : \mathfrak{g} \times \mathfrak{g} \rightarrow \mathfrak{a} : \Theta \text{ erfüllt } (\heartsuit) \}$$

$$Z^2(\mathfrak{g}, \mathfrak{a}) := \{ \Theta \in C^2(\mathfrak{g}, \mathfrak{a}) : \Theta \text{ erfüllt } (\spadesuit) \}$$

$$B^2(\mathfrak{g}, \mathfrak{a}) := \{ \Theta : \mathfrak{g} \times \mathfrak{g} \rightarrow \mathfrak{a} : \exists \mu \in \text{Hom}_{\mathbb{C}}(\mathfrak{g}, \mathfrak{a}) : \Theta(a, b) = \mu([a, b]) \}$$

$$H^2(\mathfrak{g}, \mathfrak{a}) := Z^2(\mathfrak{g}, \mathfrak{a}) / B^2(\mathfrak{g}, \mathfrak{a})$$

zentrale Erweiterung

Betrachte folgende Eigenschaften einer Abbildung $\Theta : \mathfrak{g} \times \mathfrak{g} \longrightarrow \mathfrak{a}$:

(♥) Θ ist bilinear und alternierend

(♠) $\Theta(a, [b, c]) + \Theta(b, [c, a]) + \Theta(c, [a, b]) = 0$

Definition: Koketten

$$C^2(\mathfrak{g}, \mathfrak{a}) := \{ \Theta : \mathfrak{g} \times \mathfrak{g} \rightarrow \mathfrak{a} : \Theta \text{ erfüllt } (\heartsuit) \}$$

$$Z^2(\mathfrak{g}, \mathfrak{a}) := \{ \Theta \in C^2(\mathfrak{g}, \mathfrak{a}) : \Theta \text{ erfüllt } (\spadesuit) \}$$

$$B^2(\mathfrak{g}, \mathfrak{a}) := \{ \Theta : \mathfrak{g} \times \mathfrak{g} \rightarrow \mathfrak{a} : \exists \mu \in \text{Hom}_{\mathbb{C}}(\mathfrak{g}, \mathfrak{a}) : \Theta(a, b) = \mu([a, b]) \}$$

$$H^2(\mathfrak{g}, \mathfrak{a}) := Z^2(\mathfrak{g}, \mathfrak{a}) / B^2(\mathfrak{g}, \mathfrak{a})$$

zentrale Erweiterung

Betrachte folgende Eigenschaften einer Abbildung $\Theta : \mathfrak{g} \times \mathfrak{g} \longrightarrow \mathfrak{a}$:

(♥) Θ ist bilinear und alternierend

(♠) $\Theta(a, [b, c]) + \Theta(b, [c, a]) + \Theta(c, [a, b]) = 0$

Definition: Koketten, **Kozykeln**

$$C^2(\mathfrak{g}, \mathfrak{a}) := \{ \Theta : \mathfrak{g} \times \mathfrak{g} \rightarrow \mathfrak{a} : \Theta \text{ erfüllt } (\heartsuit) \}$$

$$Z^2(\mathfrak{g}, \mathfrak{a}) := \{ \Theta \in C^2(\mathfrak{g}, \mathfrak{a}) : \Theta \text{ erfüllt } (\spadesuit) \}$$

$$B^2(\mathfrak{g}, \mathfrak{a}) := \{ \Theta : \mathfrak{g} \times \mathfrak{g} \rightarrow \mathfrak{a} : \exists \mu \in \text{Hom}_{\mathbb{C}}(\mathfrak{g}, \mathfrak{a}) : \Theta(a, b) = \mu([a, b]) \}$$

$$H^2(\mathfrak{g}, \mathfrak{a}) := Z^2(\mathfrak{g}, \mathfrak{a}) / B^2(\mathfrak{g}, \mathfrak{a})$$

zentrale Erweiterung

Betrachte folgende Eigenschaften einer Abbildung $\Theta : \mathfrak{g} \times \mathfrak{g} \longrightarrow \mathfrak{a}$:

(♥) Θ ist bilinear und alternierend

(♠) $\Theta(a, [b, c]) + \Theta(b, [c, a]) + \Theta(c, [a, b]) = 0$

Definition: Koketten, Kozykeln, **Koränder**

$$C^2(\mathfrak{g}, \mathfrak{a}) := \{ \Theta : \mathfrak{g} \times \mathfrak{g} \rightarrow \mathfrak{a} : \Theta \text{ erfüllt } (\heartsuit) \}$$

$$Z^2(\mathfrak{g}, \mathfrak{a}) := \{ \Theta \in C^2(\mathfrak{g}, \mathfrak{a}) : \Theta \text{ erfüllt } (\spadesuit) \}$$

$$B^2(\mathfrak{g}, \mathfrak{a}) := \{ \Theta : \mathfrak{g} \times \mathfrak{g} \rightarrow \mathfrak{a} : \exists \mu \in \text{Hom}_{\mathbb{C}}(\mathfrak{g}, \mathfrak{a}) : \Theta(a, b) = \mu([a, b]) \}$$

$$H^2(\mathfrak{g}, \mathfrak{a}) := Z^2(\mathfrak{g}, \mathfrak{a}) / B^2(\mathfrak{g}, \mathfrak{a})$$

zentrale Erweiterung

Betrachte folgende Eigenschaften einer Abbildung $\Theta : \mathfrak{g} \times \mathfrak{g} \longrightarrow \mathfrak{a}$:

(♥) Θ ist bilinear und alternierend

(♠) $\Theta(a, [b, c]) + \Theta(b, [c, a]) + \Theta(c, [a, b]) = 0$

Definition: Koketten, Kozykeln, Koränder, **Kohomologiegruppe**

$$C^2(\mathfrak{g}, \mathfrak{a}) := \{ \Theta : \mathfrak{g} \times \mathfrak{g} \rightarrow \mathfrak{a} : \Theta \text{ erfüllt } (\heartsuit) \}$$

$$Z^2(\mathfrak{g}, \mathfrak{a}) := \{ \Theta \in C^2(\mathfrak{g}, \mathfrak{a}) : \Theta \text{ erfüllt } (\spadesuit) \}$$

$$B^2(\mathfrak{g}, \mathfrak{a}) := \{ \Theta : \mathfrak{g} \times \mathfrak{g} \rightarrow \mathfrak{a} : \exists \mu \in \text{Hom}_{\mathbb{C}}(\mathfrak{g}, \mathfrak{a}) : \Theta(a, b) = \mu([a, b]) \}$$

$$H^2(\mathfrak{g}, \mathfrak{a}) := Z^2(\mathfrak{g}, \mathfrak{a}) / B^2(\mathfrak{g}, \mathfrak{a})$$

zentrale Erweiterung

Allgemeinere Situation:

$$C^r(\mathfrak{g}, \mathfrak{a}) := \left\{ \Theta : \times_{i=1}^r \mathfrak{g} \rightarrow \mathfrak{a} : \Theta \text{ } r\text{-linear und alternierend} \right\}$$

zentrale Erweiterung

Allgemeinere Situation:

$$C^r(\mathfrak{g}, \mathfrak{a}) := \left\{ \Theta : \times_{i=1}^r \mathfrak{g} \rightarrow \mathfrak{a} : \Theta \text{ } r\text{-linear und alternierend} \right\}$$

Definiere **Korand-Operator** $\delta_r : C^r(\mathfrak{g}, \mathfrak{a}) \rightarrow C^{r+1}(\mathfrak{g}, \mathfrak{a})$ durch

$$\begin{aligned} (\delta_r \Theta)(a_1, \dots, a_{r+1}) &\stackrel{\text{def}}{=} \sum_{i=1}^r (-1)^{i+1} a_i \Theta(a_1, \dots, \widehat{a}_i, \dots, a_{r+1}) \\ &\quad + \sum_{i < j} (-1)^{i+j} \Theta([a_i, a_j], a_1, \dots, \widehat{a}_i, \dots, \widehat{a}_j, \dots, a_{r+1}) \end{aligned}$$

zentrale Erweiterung

Allgemeinere Situation:

$$C^r(\mathfrak{g}, \mathfrak{a}) := \left\{ \Theta : \times_{i=1}^r \mathfrak{g} \rightarrow \mathfrak{a} : \Theta \text{ } r\text{-linear und alternierend} \right\}$$

Definiere **Korand-Operator** $\delta_r : C^r(\mathfrak{g}, \mathfrak{a}) \rightarrow C^{r+1}(\mathfrak{g}, \mathfrak{a})$ durch

$$\begin{aligned} (\delta_r \Theta)(a_1, \dots, a_{r+1}) &\stackrel{\text{def}}{=} \sum_{i=1}^r (-1)^{i+1} a_i \Theta(a_1, \dots, \widehat{a}_i, \dots, a_{r+1}) \\ &\quad + \sum_{i < j} (-1)^{i+j} \Theta([a_i, a_j], a_1, \dots, \widehat{a}_i, \dots, \widehat{a}_j, \dots, a_{r+1}) \end{aligned}$$

$$\Rightarrow \quad Z^r(\mathfrak{g}, \mathfrak{a}) = \ker \delta_r \quad \text{und} \quad B^r(\mathfrak{g}, \mathfrak{a}) = \text{im } \delta_{r-1}$$

zentrale Erweiterung

Jedes $\Theta \in Z^2(\mathfrak{g}, \alpha)$ „erzeugt“ eine zentrale Erweiterung \mathfrak{h} von \mathfrak{g} durch α .

zentrale Erweiterung

Jedes $\Theta \in Z^2(\mathfrak{g}, \alpha)$ „erzeugt“ eine zentrale Erweiterung \mathfrak{h} von \mathfrak{g} durch α .

Die Abbildung $\Theta : \mathfrak{d} \times \mathfrak{d} \rightarrow \mathbb{C}$ mit

$$\Theta(d_m, d_n) \stackrel{\text{def}}{=} \delta_{m+n} \frac{m^3 - m}{12}$$

liefert eine (bis auf Äquivalenz eindeutige) zentrale Erweiterung von \mathfrak{d} durch \mathbb{C} .

zentrale Erweiterung

Jedes $\Theta \in Z^2(\mathfrak{g}, \alpha)$ „erzeugt“ eine zentrale Erweiterung \mathfrak{h} von \mathfrak{g} durch α .

Die Abbildung $\Theta : \mathfrak{d} \times \mathfrak{d} \rightarrow \mathbb{C}$ mit

$$\Theta(d_m, d_n) \stackrel{\text{def}}{=} \delta_{m+n} \frac{m^3 - m}{12}$$

liefert eine (bis auf Äquivalenz eindeutige) zentrale Erweiterung von \mathfrak{d} durch \mathbb{C} .

$$H^2(\mathfrak{d}, \mathbb{C}) \cong \mathbb{C}$$

Grundlegendes

$$V := \bigoplus_{j \in \mathbb{Z}} \mathbb{C}v_j = \left\{ \sum_{j \in J} b_j v_j : b_j \in \mathbb{C}; |J| < \infty \right\} \quad \text{mit} \quad v_j = \begin{pmatrix} \vdots \\ 0 \\ 1_j \\ 0 \\ \vdots \end{pmatrix}$$

Grundlegendes

$$V := \bigoplus_{j \in \mathbb{Z}} \mathbb{C}v_j = \left\{ \sum_{j \in J} b_j v_j : b_j \in \mathbb{C}; |J| < \infty \right\} \quad \text{mit} \quad v_j = \begin{pmatrix} \vdots \\ 0 \\ 1_j \\ 0 \\ \vdots \end{pmatrix}$$

Nur *endliche* Linearkombinationen kommen vor!

Grundlegendes

$$V := \bigoplus_{j \in \mathbb{Z}} \mathbb{C}v_j = \left\{ \sum_{j \in J} b_j v_j : b_j \in \mathbb{C}; |J| < \infty \right\} \quad \text{mit} \quad v_j = \begin{pmatrix} \vdots \\ 0 \\ 1_j \\ 0 \\ \vdots \end{pmatrix}$$

Grundlegendes

$$V := \bigoplus_{j \in \mathbb{Z}} \mathbb{C}v_j = \left\{ \sum_{j \in J} b_j v_j : b_j \in \mathbb{C}; |J| < \infty \right\} \quad \text{mit} \quad v_j = \begin{pmatrix} \vdots \\ 0 \\ 1_j \\ 0 \\ \vdots \end{pmatrix}$$

$$\mathfrak{gl}_\infty := \left\{ (a_{ij})_{i,j \in \mathbb{Z}} : a_{ij} = 0 \text{ für fast alle } (i, j) \right\}$$

Grundlegendes

$$V := \bigoplus_{j \in \mathbb{Z}} \mathbb{C}v_j = \left\{ \sum_{j \in J} b_j v_j : b_j \in \mathbb{C}; |J| < \infty \right\} \quad \text{mit} \quad v_j = \begin{pmatrix} \vdots \\ 0 \\ 1_j \\ 0 \\ \vdots \end{pmatrix}$$

$$\mathfrak{gl}_\infty := \left\{ (a_{ij})_{i,j \in \mathbb{Z}} : a_{ij} = 0 \text{ für fast alle } (i, j) \right\}$$

Grundlegendes

$$V := \bigoplus_{j \in \mathbb{Z}} \mathbb{C}v_j = \left\{ \sum_{j \in J} b_j v_j : b_j \in \mathbb{C}; |J| < \infty \right\} \quad \text{mit} \quad v_j = \begin{pmatrix} \vdots \\ 0 \\ 1_j \\ 0 \\ \vdots \end{pmatrix}$$

$$\mathfrak{gl}_\infty := \left\{ (a_{ij})_{i,j \in \mathbb{Z}} : a_{ij} = 0 \text{ für fast alle } (i, j) \right\}$$

Mit dem Matrixkommutator als Lie-Klammer ist \mathfrak{gl}_∞ eine Lie-Algebra.

Grundlegendes

$$\mathfrak{gl}_\infty = \mathbb{C}\{E_{ij} : i, j \in \mathbb{Z}\} \quad \text{mit} \quad E_{ij} = \begin{pmatrix} & & & & & & \\ & & & & & & \\ & & & & & & \\ \dots & 0 & 1_{ij} & 0 & \dots & & \\ & & & & & & \\ & & & & & & \\ & & & & & & \end{pmatrix}$$

Grundlegendes

$$\mathfrak{gl}_\infty = \mathbb{C}\{E_{ij} : i, j \in \mathbb{Z}\} \quad \text{mit} \quad E_{ij} = \begin{pmatrix} & & & & & & \\ & & & & & & \\ & & & & & & \\ \dots & 0 & 1_{ij} & 0 & \dots & & \\ & & & & & & \\ & & & & & & \\ & & & & & & \end{pmatrix}$$

Es gilt $E_{ij} v_k = \delta_{jk} v_i$ und $E_{ij} E_{mn} = \delta_{jm} E_{in}$, und somit die Vertauschungsrelationen

$$[E_{ij}, E_{mn}] = \delta_{jm} E_{in} - \delta_{ni} E_{mj}.$$

Grundlegendes

$$\mathfrak{gl}_\infty = \mathbb{C}\{E_{ij} : i, j \in \mathbb{Z}\} \quad \text{mit} \quad E_{ij} = \begin{pmatrix} & & & & & \\ & & & & & \\ & & & & & \\ \dots & 0 & 1_{ij} & 0 & \dots & \\ & & & & & \\ & & & & & \\ & & & & & \end{pmatrix}$$

Es gilt $E_{ij} v_k = \delta_{jk} v_i$ und $E_{ij} E_{mn} = \delta_{jm} E_{in}$, und somit die **Vertauschungsrelationen**

$$[E_{ij}, E_{mn}] = \delta_{jm} E_{in} - \delta_{ni} E_{mj} .$$

Grundlegendes

\mathfrak{gl}_∞ ist in der größeren Lie-Algebra $\bar{\mathfrak{a}}_\infty$ enthalten.

$$\bar{\mathfrak{a}}_\infty := \left\{ (a_{ij})_{i,j \in \mathbb{Z}} : a_{ij} = 0 \text{ für } |i - j| \gg 0 \right\}$$

Grundlegendes

\mathfrak{gl}_∞ ist in der größeren Lie-Algebra $\bar{\mathfrak{a}}_\infty$ enthalten.

$$\bar{\mathfrak{a}}_\infty := \left\{ (a_{ij})_{i,j \in \mathbb{Z}} : a_{ij} = 0 \text{ für } |i - j| \gg 0 \right\}$$

Grundlegendes

\mathfrak{gl}_∞ ist in der größeren Lie-Algebra $\bar{\mathfrak{a}}_\infty$ enthalten.

$$\bar{\mathfrak{a}}_\infty := \left\{ (a_{ij})_{i,j \in \mathbb{Z}} : a_{ij} = 0 \text{ für } |i - j| \gg 0 \right\}$$

Die **Shift-Operatoren** Λ_k vertauschen die Basisvektoren:

$$\Lambda_k v_j \stackrel{\text{def}}{=} v_{j-k}.$$

Grundlegendes

\mathfrak{gl}_∞ ist in der größeren Lie-Algebra $\bar{\mathfrak{a}}_\infty$ enthalten.

$$\bar{\mathfrak{a}}_\infty := \left\{ (a_{ij})_{i,j \in \mathbb{Z}} : a_{ij} = 0 \text{ für } |i - j| \gg 0 \right\}$$

Die **Shift-Operatoren** Λ_k vertauschen die Basisvektoren:

$$\Lambda_k v_j \stackrel{\text{def}}{=} v_{j-k}.$$

$$\Lambda_k v_j = v_{j-k} = \sum_{i \in \mathbb{Z}} \delta_{i+k,j} v_i = \sum_{i \in \mathbb{Z}} E_{i,i+k} v_j$$

Grundlegendes

\mathfrak{gl}_∞ ist in der größeren Lie-Algebra $\bar{\mathfrak{a}}_\infty$ enthalten.

$$\bar{\mathfrak{a}}_\infty := \left\{ (a_{ij})_{i,j \in \mathbb{Z}} : a_{ij} = 0 \text{ für } |i - j| \gg 0 \right\}$$

Die **Shift-Operatoren** Λ_k vertauschen die Basisvektoren:

$$\Lambda_k v_j \stackrel{\text{def}}{=} v_{j-k}.$$

$$\Lambda_k v_j = v_{j-k} = \sum_{i \in \mathbb{Z}} \delta_{i+k,j} v_i = \sum_{i \in \mathbb{Z}} E_{i,i+k} v_j$$

Grundlegendes

\mathfrak{gl}_∞ ist in der größeren Lie-Algebra $\bar{\mathfrak{a}}_\infty$ enthalten.

$$\bar{\mathfrak{a}}_\infty := \left\{ (a_{ij})_{i,j \in \mathbb{Z}} : a_{ij} = 0 \text{ für } |i - j| \gg 0 \right\}$$

Die **Shift-Operatoren** Λ_k vertauschen die Basisvektoren:

$$\Lambda_k v_j \stackrel{\text{def}}{=} v_{j-k}.$$

$$\Lambda_k v_j = v_{j-k} = \sum_{i \in \mathbb{Z}} \delta_{i+k,j} v_i = \sum_{i \in \mathbb{Z}} E_{i,i+k} v_j$$

$$\Rightarrow \Lambda_k = \sum_{i \in \mathbb{Z}} E_{i,i+k} = \begin{pmatrix} \ddots & & & & & & \\ & \ddots & & & & & \\ & & 0 & & 1 & & \\ & & & \ddots & & & \\ & & & & \ddots & & \\ & & & & & 0 & & 1 \\ & & & & & & \ddots & \\ & & & & & & & \ddots \end{pmatrix}$$

Grundlegendes

Die Λ_k bilden eine kommutative Unter algebra von \bar{a}_∞ :

$$[\Lambda_k, \Lambda_l] = 0$$

Grundlegendes

Die Λ_k bilden eine kommutative Unteralgebra von \bar{a}_∞ :

$$[\Lambda_k, \Lambda_l] = 0$$

Auch δ ist in \bar{a}_∞ enthalten:

$$\begin{aligned} d_n(v_j) &= (j - \alpha - \beta(n + 1)) v_{j-n} \\ &= \sum_{k \in \mathbb{Z}} (k - \alpha - \beta(n + 1)) \delta_{kj} v_{k-n} \\ &= \sum_{k \in \mathbb{Z}} (k - \alpha - \beta(n + 1)) E_{k-n,k} v_j \end{aligned}$$

Grundlegendes

Die Λ_k bilden eine kommutative Unteralgebra von \bar{a}_∞ :

$$[\Lambda_k, \Lambda_l] = 0$$

Auch \mathfrak{d} ist in \bar{a}_∞ enthalten:

$$\begin{aligned} \mathbf{d}_n(v_j) &= (j - \alpha - \beta(n + 1)) v_{j-n} \\ &= \sum_{k \in \mathbb{Z}} (k - \alpha - \beta(n + 1)) \delta_{kj} v_{k-n} \\ &= \sum_{k \in \mathbb{Z}} (k - \alpha - \beta(n + 1)) E_{k-n,k} v_j \end{aligned}$$

Diracsche Löchertheorie

Die freie Dirac-Gleichung $(i\gamma^\mu \partial_\mu - m) \Psi = 0$ taugt nicht gut für Ein-Teilchen-Theorie.

Diracsche Löchertheorie

Die freie Dirac-Gleichung $(i\gamma^\mu \partial_\mu - m) \Psi = 0$ taugt nicht gut für Ein-Teilchen-Theorie.

Sie hat Lösungen $\Psi^{(\mp)} = u e^{\pm i p \cdot x}$, das führt zu **Instabilität**.

Diracsche Löchertheorie

Die freie Dirac-Gleichung $(i\gamma^\mu \partial_\mu - m) \Psi = 0$ taugt nicht gut für Ein-Teilchen-Theorie.

Sie hat Lösungen $\Psi(\mp) = u e^{\pm i p \cdot x}$, das führt zu **Instabilität**.

Diracsche Löchertheorie

Die freie Dirac-Gleichung $(i\gamma^\mu \partial_\mu - m) \Psi = 0$ taugt nicht gut für Ein-Teilchen-Theorie.

Sie hat Lösungen $\Psi^{(\mp)} = u e^{\pm i p \cdot x}$, das führt zu **Instabilität**.

Diracs Idee: *Fast alle* Zustände $\Psi^{(-)}$ sind besetzt! $\Psi^{(-)}$ -Löcher werden interpretiert als **Antiteilchen**.

Diracsche Löchertheorie

Die freie Dirac-Gleichung $(i\gamma^\mu \partial_\mu - m) \Psi = 0$ taugt nicht gut für Ein-Teilchen-Theorie.

Sie hat Lösungen $\Psi^{(\mp)} = u e^{\pm i p \cdot x}$, das führt zu **Instabilität**.

Diracs Idee: *Fast alle* Zustände $\Psi^{(-)}$ sind besetzt! $\Psi^{(-)}$ -Löcher werden interpretiert als **Antiteilchen**.

Die Theorie ermöglicht auch *Annihilation* und *Paarerzeugung*, behandelt aber Teilchen und Antiteilchen **unsymmetrisch**, daher echte Quantenfeldtheorie nötig. . .

Dirac-Löcher in $\Lambda^\infty V$

Die Dirac-Theorie dient als Motivation für das Folgende.

Dirac-Löcher in $\Lambda^\infty V$

Die Dirac-Theorie dient als Motivation für das Folgende.

V : Zustandsraum *eines* Elektrons

v_j : 1-Teilchen-Zustand mit **Energie** j

Dirac-Löcher in $\Lambda^\infty V$

Die Dirac-Theorie dient als Motivation für das Folgende.

V : Zustandsraum *eines* Elektrons

v_j : 1-Teilchen-Zustand mit **Energie** j

Wegen des **Pauli-Prinzips** liegen alle Viel-Teilchen-Zustände im Raum $\Lambda^\infty V$, etwa das **Vakuum**

$$\psi_0 := v_0 \wedge v_{-1} \wedge v_{-2} \wedge \dots .$$

Dirac-Löcher in $\Lambda^\infty V$

$$F^{(0)} := \mathbb{C} \left\{ v_{i_0} \wedge v_{i_{-1}} \wedge \dots \in \Lambda^\infty V : i_0 > i_{-1} > \dots ; i_{-k} = -k \text{ für } k \gg 1 \right\}$$

Dirac-Löcher in $\Lambda^\infty V$

$$F^{(0)} := \mathbb{C} \left\{ v_{i_0} \wedge v_{i_{-1}} \wedge \dots \in \Lambda^\infty V : i_0 > i_{-1} > \dots; i_{-k} = -k \text{ für } k \gg 1 \right\}$$

Dirac-Löcher in $\Lambda^\infty V$

$$F^{(0)} := \mathbb{C} \left\{ v_{i_0} \wedge v_{i_{-1}} \wedge \dots \in \Lambda^\infty V : i_0 > i_{-1} > \dots ; i_{-k} = -k \text{ für } k \gg 1 \right\}$$

endlich viele Positronen

Dirac-Löcher in $\Lambda^\infty V$

$$F^{(0)} := \mathbb{C} \left\{ v_{i_0} \wedge v_{i_{-1}} \wedge \dots \in \Lambda^\infty V : i_0 > i_{-1} > \dots ; i_{-k} = -k \text{ für } k \gg 1 \right\}$$

Dirac-Löcher in $\Lambda^\infty V$

$$F^{(0)} := \mathbb{C} \left\{ v_{i_0} \wedge v_{i_{-1}} \wedge \dots \in \Lambda^\infty V : i_0 > i_{-1} > \dots ; i_{-k} = -k \text{ für } k \gg 1 \right\}$$

$\psi \in F^{(0)}$ enthält eine gleiche Anzahl von Elektronen und Positronen:

Dirac-Löcher in $\Lambda^\infty V$

$$F^{(0)} := \mathbb{C} \left\{ v_{i_0} \wedge v_{i_{-1}} \wedge \dots \in \Lambda^\infty V : i_0 > i_{-1} > \dots ; i_{-k} = -k \text{ für } k \gg 1 \right\}$$

$\psi \in F^{(0)}$ enthält eine gleiche Anzahl von Elektronen und Positronen:

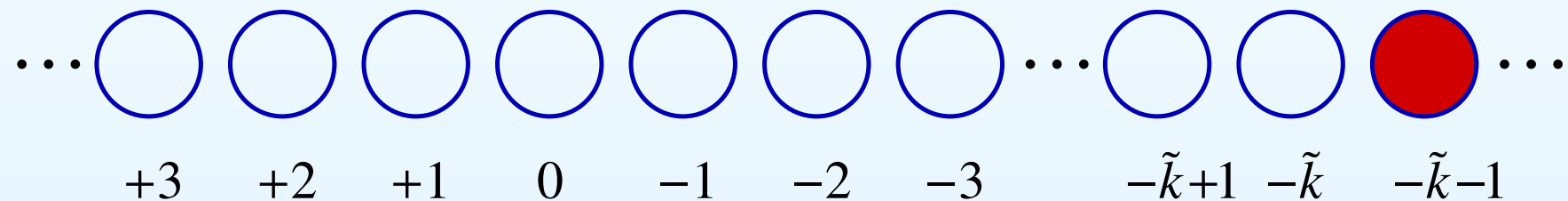
Sei etwa $i_{-k} = k$ für alle $k > \tilde{k}$.

Dirac-Löcher in $\Lambda^\infty V$

$$F^{(0)} := \mathbb{C} \left\{ v_{i_0} \wedge v_{i_{-1}} \wedge \dots \in \Lambda^\infty V : i_0 > i_{-1} > \dots ; i_{-k} = -k \text{ für } k \gg 1 \right\}$$

$\psi \in F^{(0)}$ enthält eine gleiche Anzahl von Elektronen und Positronen:

Sei etwa $i_{-k} = k$ für alle $k > \tilde{k}$.



Dirac-Löcher in $\Lambda^\infty V$

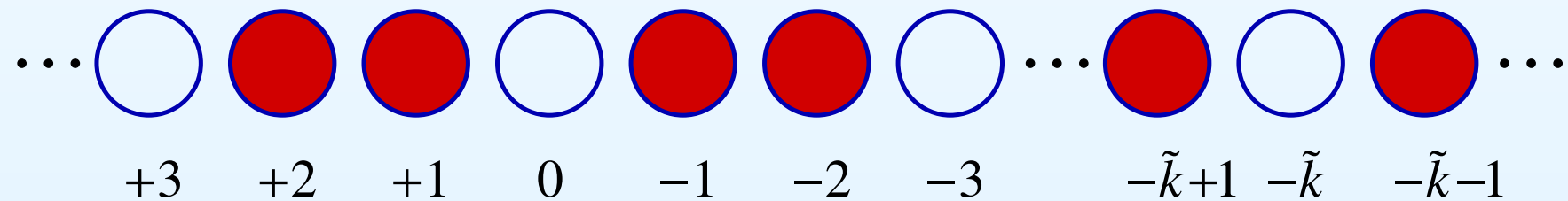
$$F^{(0)} := \mathbb{C} \left\{ v_{i_0} \wedge v_{i_{-1}} \wedge \dots \in \Lambda^\infty V : i_0 > i_{-1} > \dots ; i_{-k} = -k \text{ für } k \gg 1 \right\}$$

$\psi \in F^{(0)}$ enthält eine gleiche Anzahl von Elektronen und Positronen:

Sei etwa $i_{-k} = k$ für alle $k > \tilde{k}$.

$\tilde{k} - l$ besetzt

l besetzt $\Rightarrow \tilde{k} - l$ unbesetzt



Dirac-Löcher in $\Lambda^\infty V$

$$F^{(0)} := \mathbb{C} \left\{ v_{i_0} \wedge v_{i_{-1}} \wedge \dots \in \Lambda^\infty V : i_0 > i_{-1} > \dots ; i_{-k} = -k \text{ für } k \gg 1 \right\}$$

$\psi \in F^{(0)}$ enthält eine gleiche Anzahl von Elektronen und Positronen:

Maß für den **Grad der Anregung** von $\psi = v_{i_0} \wedge v_{i_{-1}} \wedge \dots \in F^{(0)}$:

$$\text{deg } \psi \stackrel{\text{def}}{=} \sum_{\substack{s=0 \\ i_s > 0 \text{ tritt auf}}}^{\infty} i_s - \sum_{\substack{s=0 \\ i_s \leq 0 \text{ tritt nicht auf}}}^{\infty} i_s = \sum_{s=0}^{\infty} (i_{-s} + s)$$

Dirac-Löcher in $\Lambda^\infty V$

Wie ist $F^{(0)}$ strukturiert?

Dirac-Löcher in $\Lambda^\infty V$

Wie ist $F^{(0)}$ strukturiert?

Betrachte *Zerlegung* $\{k_0, k_1, \dots, k_{n-1}\} \subset \mathbb{Z}$ von $k \in \mathbb{Z}$, d.h.

$$k = k_0 + k_1 + \dots + k_{n-1} \quad \text{und} \quad k_0 \leq k_1 \leq \dots \leq k_{n-1} .$$

Dirac-Löcher in $\Lambda^\infty V$

Wie ist $F^{(0)}$ strukturiert?

Betrachte *Zerlegung* $\{k_0, k_1, \dots, k_{n-1}\} \subset \mathbb{Z}$ von $k \in \mathbb{Z}$, d.h.

$$k = k_0 + k_1 + \dots + k_{n-1} \quad \text{und} \quad k_0 \leq k_1 \leq \dots \leq k_{n-1} .$$

Dies liefert eindeutig einen Vektor aus $F^{(0)}$:

$$\psi_{\{k\}} := v_{k_0} \wedge v_{k_1-1} \wedge \dots \wedge v_{k_{n-1}-(n-1)} \wedge v_{-n} \wedge v_{-n-1} \wedge \dots$$

Dirac-Löcher in $\Lambda^\infty V$

Wie ist $F^{(0)}$ strukturiert?

Betrachte *Zerlegung* $\{k_0, k_1, \dots, k_{n-1}\} \subset \mathbb{Z}$ von $k \in \mathbb{Z}$, d.h.

$$k = k_0 + k_1 + \dots + k_{n-1} \quad \text{und} \quad k_0 \leq k_1 \leq \dots \leq k_{n-1} .$$

Dies liefert eindeutig einen Vektor aus $F^{(0)}$:

$$\psi_{\{k\}} := v_{k_0} \wedge v_{k_1-1} \wedge \dots \wedge v_{k_{n-1}-(n-1)} \wedge v_{-n} \wedge v_{-n-1} \wedge \dots$$

Offenbar gilt $\deg \psi_{\{k\}} = \sum_{s=0}^{\infty} (i_{-s} + s) = k$.

Jedes ψ mit $\deg \psi = k$ lässt sich so schreiben, also:

Dirac-Löcher in $\Lambda^\infty V$

Mit $F_k^{(0)} := \mathbb{C} \{ \psi \in F^{(0)} : \deg \psi = k \}$ gilt:

$$(i) \quad F^{(0)} = \bigoplus_{k \in \mathbb{Z}_+} F_k^{(0)}, \quad \text{wobei } F_0^{(0)} := \mathbb{C}\psi_0$$

$$(ii) \quad \dim F_k^{(0)} = p(k) = \#(\text{Zerlegungen von } k)$$

$$(iii) \quad \dim_q F^{(0)} \equiv \sum_{k \in \mathbb{Z}_+} (\dim F_k^{(0)}) q^k = \frac{1}{\varphi(q)} \equiv \left[\prod_{j \in \mathbb{N}} (1 - q^j) \right]^{-1}$$

Dirac-Löcher in $\Lambda^\infty V$

Rademacher-Formel:

$$p(n) = \frac{1}{\pi \sqrt{2}} \sum_{k=1}^{\infty} A_k(n) \sqrt{k} \frac{d}{dn} \left[\frac{\sinh \left(\frac{\pi}{k} \sqrt{\frac{2}{3}} \left(n - \frac{1}{24} \right) \right)}{\sqrt{n - \frac{1}{24}}} \right]$$

$$A_k(n) := \sum_{h=1}^k \delta_{\text{GCD}(h,k),1} \exp \left[\pi i \sum_{j=1}^{k-1} \frac{j}{k} \left(\frac{hj}{k} - \left\lfloor \frac{hj}{k} \right\rfloor - \frac{1}{2} \right) - \frac{2\pi i h n}{k} \right]$$

Dirac-Löcher in $\Lambda^\infty V$

Definiere nun einen Raum, der *alle* Zustände mit **endlich vielen Positronen** enthält:

$$\begin{aligned} F &:= \mathbb{C} \left\{ v_{i_0} \wedge v_{i_{-1}} \wedge \dots \in \Lambda^\infty V : i_0 > i_{-1} > \dots ; |\mathbb{Z}_- \setminus \{i_0, i_{-1}, \dots\}| < \infty \right\} \\ &\equiv \mathbb{C} \left\{ \text{semi-infinite Monome (sim)} \right\} \end{aligned}$$

Dirac-Löcher in $\Lambda^\infty V$

Definiere nun einen Raum, der *alle* Zustände mit **endlich vielen Positronen** enthält:

$$\begin{aligned} F &:= \mathbb{C} \left\{ v_{i_0} \wedge v_{i_{-1}} \wedge \dots \in \Lambda^\infty V : i_0 > i_{-1} > \dots ; |\mathbb{Z}_- \setminus \{i_0, i_{-1}, \dots\}| < \infty \right\} \\ &\equiv \mathbb{C} \left\{ \text{semi-infinite Monome (sim)} \right\} \end{aligned}$$

F zerfällt in Teilräume, $F = \bigoplus_{m \in \mathbb{Z}} F^{(m)}$, wobei

$$F^{(m)} := \mathbb{C} \left\{ v_{i_m} \wedge v_{i_{m-1}} \wedge \dots \in \Lambda^\infty V : i_m > i_{m-1} > \dots ; i_k = k+m \text{ für } k \ll 0 \right\}.$$

Dirac-Löcher in $\Lambda^\infty V$

Definiere nun einen Raum, der *alle* Zustände mit **endlich vielen Positronen** enthält:

$$\begin{aligned} F &:= \mathbb{C} \left\{ v_{i_0} \wedge v_{i_{-1}} \wedge \dots \in \Lambda^\infty V : i_0 > i_{-1} > \dots ; |\mathbb{Z}_- \setminus \{i_0, i_{-1}, \dots\}| < \infty \right\} \\ &\equiv \mathbb{C} \left\{ \text{semi-infinite Monome (sim)} \right\} \end{aligned}$$

F zerfällt in Teilräume, $F = \bigoplus_{m \in \mathbb{Z}} F^{(m)}$, wobei

$$F^{(m)} := \mathbb{C} \left\{ v_{i_m} \wedge v_{i_{m-1}} \wedge \dots \in \Lambda^\infty V : i_m > i_{m-1} > \dots ; i_k = k + m \text{ für } k \ll 0 \right\}$$

Dirac-Löcher in $\Lambda^\infty V$

Definiere nun einen Raum, der *alle* Zustände mit **endlich vielen Positronen** enthält:

$$\begin{aligned} F &:= \mathbb{C} \left\{ v_{i_0} \wedge v_{i_{-1}} \wedge \dots \in \Lambda^\infty V : i_0 > i_{-1} > \dots ; |\mathbb{Z}_- \setminus \{i_0, i_{-1}, \dots\}| < \infty \right\} \\ &\equiv \mathbb{C} \left\{ \text{semi-infinite Monome (sim)} \right\} \end{aligned}$$

F zerfällt in Teilräume, $F = \bigoplus_{m \in \mathbb{Z}} F^{(m)}$, wobei

$$F^{(m)} := \mathbb{C} \left\{ v_{i_m} \wedge v_{i_{m-1}} \wedge \dots \in \Lambda^\infty V : i_m > i_{m-1} > \dots ; i_k = k + m \text{ für } k \ll 0 \right\}$$

Das **Referenz-Vakuum** $\psi_m \in F^{(m)}$ spielt eine besondere Rolle,

$$\psi_m := v_m \wedge v_{m-1} \wedge \dots .$$

Dirac-Löcher in $\Lambda^\infty V$

Definiere nun einen Raum, der *alle* Zustände mit **endlich vielen Positronen** enthält:

$$\begin{aligned} F &:= \mathbb{C} \left\{ v_{i_0} \wedge v_{i_{-1}} \wedge \dots \in \Lambda^\infty V : i_0 > i_{-1} > \dots ; |\mathbb{Z}_- \setminus \{i_0, i_{-1}, \dots\}| < \infty \right\} \\ &\equiv \mathbb{C} \left\{ \text{semi-infinite Monome (sim)} \right\} \end{aligned}$$

F zerfällt in Teilräume, $F = \bigoplus_{m \in \mathbb{Z}} F^{(m)}$, wobei

$$F^{(m)} := \mathbb{C} \left\{ v_{i_m} \wedge v_{i_{m-1}} \wedge \dots \in \Lambda^\infty V : i_m > i_{m-1} > \dots ; i_k = k + m \text{ für } k \ll 0 \right\}$$

Das **Referenz-Vakuum** $\psi_m \in F^{(m)}$ spielt eine besondere Rolle,

$$\psi_m := v_m \wedge v_{m-1} \wedge \dots$$

Dirac-Löcher in $\Lambda^\infty V$

$$F^{(m)} = \mathbb{C} \left\{ \psi = v_{i_m} \wedge v_{i_{m-1}} \wedge \dots \in \Lambda^\infty V : i_m > i_{m-1} > \dots ; i_k = k+m \text{ für } k \ll 0 \right\}$$

Dirac-Löcher in $\Lambda^\infty V$

$$F^{(m)} = \mathbb{C} \left\{ \psi = v_{i_m} \wedge v_{i_{m-1}} \wedge \dots \in \Lambda^\infty V : i_m > i_{m-1} > \dots ; i_k = k+m \text{ für } k \ll 0 \right\}$$

Der Grad von $\psi \in F^{(m)}$ wird analog zu $m = 0$ definiert:

$$\deg \psi \stackrel{\text{def}}{=} \sum_{\substack{s=0 \\ i_s > m \text{ tritt auf}}}^{\infty} i_s - \sum_{\substack{s=0 \\ i_s \leq m \text{ tritt nicht auf}}}^{\infty} i_s = \sum_{s=0}^{\infty} (i_{-s} + s - m)$$

Dirac-Löcher in $\Lambda^\infty V$

$$F^{(m)} = \mathbb{C} \left\{ \psi = v_{i_m} \wedge v_{i_{m-1}} \wedge \dots \in \Lambda^\infty V : i_m > i_{m-1} > \dots ; i_k = k+m \text{ für } k \ll 0 \right\}$$

Der **Grad** von $\psi \in F^{(m)}$ wird analog zu $m = 0$ definiert:

$$\text{deg } \psi \stackrel{\text{def}}{=} \sum_{\substack{s=0 \\ i_s > m \text{ tritt auf}}}^{\infty} i_s - \sum_{\substack{s=0 \\ i_s \leq m \text{ tritt nicht auf}}}^{\infty} i_s = \sum_{s=0}^{\infty} (i_{-s} + s - m)$$

Dirac-Löcher in $\Lambda^\infty V$

$$F^{(m)} = \mathbb{C} \left\{ \psi = v_{i_m} \wedge v_{i_{m-1}} \wedge \dots \in \Lambda^\infty V : i_m > i_{m-1} > \dots ; i_k = k+m \text{ für } k \ll 0 \right\}$$

Der **Grad** von $\psi \in F^{(m)}$ wird analog zu $m = 0$ definiert:

$$\text{deg } \psi \stackrel{\text{def}}{=} \sum_{\substack{s=0 \\ i_s > m \text{ tritt auf}}}^{\infty} i_s - \sum_{\substack{s=0 \\ i_s \leq m \text{ tritt nicht auf}}}^{\infty} i_s = \sum_{s=0}^{\infty} (i_{-s} + s - m)$$

Und überhaupt ist Vieles analog:

Dirac-Löcher in $\Lambda^\infty V$

Mit $F_k^{(m)} := \mathbb{C} \{ \psi \in F^{(m)} : \deg \psi = k \}$ gilt:

$$(i) \quad F^{(m)} = \bigoplus_{k \in \mathbb{Z}_+} F_k^{(m)}, \quad \text{wobei} \quad F_0^{(m)} := \mathbb{C} \psi_m$$

$$(ii) \quad \dim F_k^{(m)} = p(k)$$

$$(iii) \quad \dim_q F^{(m)} \equiv \sum_{k \in \mathbb{Z}_+} (\dim F_k^{(m)}) q^k = \frac{1}{\varphi(q)} \equiv \left[\prod_{j \in \mathbb{N}} (1 - q^j) \right]^{-1}$$

Dirac-Löcher in $\Lambda^\infty V$

Mit $F_k^{(m)} := \mathbb{C} \{ \psi \in F^{(m)} : \deg \psi = k \}$ gilt:

$$(i) \quad F^{(m)} = \bigoplus_{k \in \mathbb{Z}_+} F_k^{(m)}, \quad \text{wobei} \quad F_0^{(m)} := \mathbb{C} \psi_m$$

$$(ii) \quad \dim F_k^{(m)} = p(k)$$

$$(iii) \quad \dim_q F^{(m)} \equiv \sum_{k \in \mathbb{Z}_+} (\dim F_k^{(m)}) q^k = \frac{1}{\varphi(q)} \equiv \left[\prod_{j \in \mathbb{N}} (1 - q^j) \right]^{-1}$$

$$\Rightarrow F = \bigoplus_{m \in \mathbb{Z}} \bigoplus_{k \in \mathbb{Z}_+} F_k^{(m)}$$

Darstellung von \mathfrak{gl}_∞ auf F

Definiere **Darstellung ρ von \mathfrak{gl}_∞ auf F** :

$$\rho(a)(v_{i_1} \wedge v_{i_2} \wedge \dots) \stackrel{\text{def}}{=} a v_{i_1} \wedge v_{i_2} \wedge \dots + v_{i_1} \wedge a v_{i_2} \wedge \dots + \dots$$

Darstellung von \mathfrak{gl}_∞ auf F

Definiere Darstellung ρ von \mathfrak{gl}_∞ auf F :

$$\rho(a)(v_{i_1} \wedge v_{i_2} \wedge \dots) \stackrel{\text{def}}{=} \textcircled{a} v_{i_1} \wedge v_{i_2} \wedge \dots + v_{i_1} \wedge \textcircled{a} v_{i_2} \wedge \dots + \dots$$

$\rho(a)$ wirkt wie eine Derivation.

Darstellung von \mathfrak{gl}_∞ auf F

Definiere **Darstellung ρ von \mathfrak{gl}_∞ auf F** :

$$\rho(a)(v_{i_1} \wedge v_{i_2} \wedge \dots) \stackrel{\text{def}}{=} a v_{i_1} \wedge v_{i_2} \wedge \dots + v_{i_1} \wedge a v_{i_2} \wedge \dots + \dots$$

Darstellung von \mathfrak{gl}_∞ auf F

Definiere **Darstellung ρ von \mathfrak{gl}_∞ auf F** :

$$\rho(a)(v_{i_1} \wedge v_{i_2} \wedge \dots) \stackrel{\text{def}}{=} a v_{i_1} \wedge v_{i_2} \wedge \dots + v_{i_1} \wedge a v_{i_2} \wedge \dots + \dots$$

Wegen $E_{ij}v_k = \delta_{jk}v_i$ gilt für die Basis

$$\rho(E_{ij})(v_{i_1} \wedge v_{i_2} \wedge \dots) = \begin{cases} 0 & \text{für } j \notin \{i_l\}_{l \in \mathbb{N}}, \\ v_{i_1} \wedge \dots \wedge v_{i_{k-1}} \wedge v_i \wedge v_{i_{k+1}} \wedge \dots & \text{für } j = i_k. \end{cases}$$

Darstellung von \mathfrak{gl}_∞ auf F

Definiere **Darstellung ρ von \mathfrak{gl}_∞ auf F** :

$$\rho(a)(v_{i_1} \wedge v_{i_2} \wedge \dots) \stackrel{\text{def}}{=} a v_{i_1} \wedge v_{i_2} \wedge \dots + v_{i_1} \wedge a v_{i_2} \wedge \dots + \dots$$

Wegen $E_{ij}v_k = \delta_{jk}v_i$ gilt für die Basis

$$\rho(E_{ij})(v_{i_1} \wedge v_{i_2} \wedge \dots) = \begin{cases} 0 & \text{für } j \notin \{i_l\}_{l \in \mathbb{N}}, \\ v_{i_1} \wedge \dots \wedge v_{i_{k-1}} \wedge v_i \wedge v_{i_{k+1}} \wedge \dots & \text{für } j = i_k. \end{cases}$$

Darstellung von \mathfrak{gl}_∞ auf F

Definiere **Darstellung ρ von \mathfrak{gl}_∞ auf F** :

$$\rho(a)(v_{i_1} \wedge v_{i_2} \wedge \dots) \stackrel{\text{def}}{=} a v_{i_1} \wedge v_{i_2} \wedge \dots + v_{i_1} \wedge a v_{i_2} \wedge \dots + \dots$$

Wegen $E_{ij}v_k = \delta_{jk}v_i$ gilt für die Basis

$$\rho(E_{ij})(v_{i_1} \wedge v_{i_2} \wedge \dots) = \begin{cases} 0 & \text{für } j \notin \{i_l\}_{l \in \mathbb{N}}, \\ v_{i_1} \wedge \dots \wedge v_{i_{k-1}} \wedge v_i \wedge v_{i_{k+1}} \wedge \dots & \text{für } j = i_k. \end{cases}$$

Die $\rho(E_{ij})$ bilden die Unterräume $F^{(m)}$ in sich ab:

$$\rho_m(E_{ij}) \stackrel{\text{def}}{=} \rho(E_{ij})|_{F^{(m)}} : F^{(m)} \longrightarrow F^{(m)}$$

Darstellung von \mathfrak{gl}_∞ auf F

Definiere **Darstellung ρ von \mathfrak{gl}_∞ auf F** :

$$\rho(a)(v_{i_1} \wedge v_{i_2} \wedge \dots) \stackrel{\text{def}}{=} a v_{i_1} \wedge v_{i_2} \wedge \dots + v_{i_1} \wedge a v_{i_2} \wedge \dots + \dots$$

Wegen $E_{ij}v_k = \delta_{jk}v_i$ gilt für die Basis

$$\rho(E_{ij})(v_{i_1} \wedge v_{i_2} \wedge \dots) = \begin{cases} 0 & \text{für } j \notin \{i_l\}_{l \in \mathbb{N}}, \\ v_{i_1} \wedge \dots \wedge v_{i_{k-1}} \wedge v_i \wedge v_{i_{k+1}} \wedge \dots & \text{für } j = i_k. \end{cases}$$

Die $\rho(E_{ij})$ bilden die Unterräume $F^{(m)}$ in sich ab:

$$\rho_m(E_{ij}) \stackrel{\text{def}}{=} \rho(E_{ij})|_{F^{(m)}} : F^{(m)} \longrightarrow F^{(m)}$$

Damit ist ρ **direkte Summe** der ρ_m , $\rho = \bigoplus_{m \in \mathbb{Z}} \rho_m$.

Darstellung von \mathfrak{gl}_∞ auf F

Durch ρ lässt sich jedes semi-infinite Monom

$$\psi = v_{i_m} \wedge \dots \wedge v_{i_{m-k}} \wedge v_{m-k-1} \wedge \dots \in F^{(m)}$$

aus dem Referenz-Vakuum $\psi_m = v_m \wedge v_{m-1} \wedge \dots$ konstruieren:

$$\begin{aligned} & \rho(E_{i_m, m}) \dots \rho(E_{i_{m-k}, m-k}) (v_m \wedge v_{m-1} \wedge \dots) \\ = & \rho(E_{i_m, m}) \dots \rho(E_{i_{m-k+1}, m-k+1}) (v_m \wedge \dots \wedge v_{m-k+1} \wedge v_{i_{m-k}} \wedge v_{m-k-1} \wedge \dots) \\ = & \dots \\ = & v_{i_m} \wedge \dots \wedge v_{i_{m-k}} \wedge v_{m-k-1} \wedge v_{m-k-2} \wedge \dots \\ = & \psi \end{aligned}$$

Darstellung von \mathfrak{gl}_∞ auf F

Durch ρ lässt sich jedes semi-infinite Monom

$$\psi = v_{i_m} \wedge \dots \wedge v_{i_{m-k}} \wedge v_{m-k-1} \wedge \dots \in F^{(m)}$$

aus dem Referenz-Vakuum $\psi_m = v_m \wedge v_{m-1} \wedge \dots$ konstruieren:

$$\begin{aligned} & \rho(E_{i_m, m}) \dots \rho(E_{i_{m-k}, m-k})(v_m \wedge v_{m-1} \wedge \dots) \\ = & \rho(E_{i_m, m}) \dots \rho(E_{i_{m-k+1}, m-k+1})(v_m \wedge \dots \wedge v_{m-k+1} \wedge v_{i_{m-k}} \wedge v_{m-k-1} \wedge \dots) \\ = & \dots \\ = & v_{i_m} \wedge \dots \wedge v_{i_{m-k}} \wedge v_{m-k-1} \wedge v_{m-k-2} \wedge \dots \\ = & \psi \end{aligned}$$

Darstellung von \mathfrak{gl}_∞ auf F

Durch ρ lässt sich jedes semi-infinite Monom

$$\psi = v_{i_m} \wedge \dots \wedge v_{i_{m-k}} \wedge v_{m-k-1} \wedge \dots \in F^{(m)}$$

aus dem Referenz-Vakuum $\psi_m = v_m \wedge v_{m-1} \wedge \dots$ konstruieren:

$$\begin{aligned} & \rho(E_{i_m, m}) \dots \rho(E_{i_{m-k}, m-k})(v_m \wedge v_{m-1} \wedge \dots) \\ = & \rho(E_{i_m, m}) \dots \rho(E_{i_{m-k+1}, m-k+1})(v_m \wedge \dots \wedge v_{m-k+1} \wedge v_{i_{m-k}} \wedge v_{m-k-1} \wedge \dots) \\ = & \dots \\ = & v_{i_m} \wedge \dots \wedge v_{i_{m-k}} \wedge v_{m-k-1} \wedge v_{m-k-2} \wedge \dots \\ = & \psi \\ \Rightarrow & v_{i_m} \wedge \dots \wedge v_{i_{m-k}} \wedge v_{m-k-1} \wedge \dots = \rho(E_{i_m, m}) \dots \rho(E_{i_{m-k}, m-k}) \psi_m \end{aligned}$$

Darstellung von \mathfrak{gl}_∞ auf F

Durch ρ lässt sich jedes semi-infinite Monom

$$\psi = v_{i_m} \wedge \dots \wedge v_{i_{m-k}} \wedge v_{m-k-1} \wedge \dots \in F^{(m)}$$

aus dem Referenz-Vakuum $\psi_m = v_m \wedge v_{m-1} \wedge \dots$ konstruieren:

$$\begin{aligned} & \rho(E_{i_m, m}) \dots \rho(E_{i_{m-k}, m-k})(v_m \wedge v_{m-1} \wedge \dots) \\ = & \rho(E_{i_m, m}) \dots \rho(E_{i_{m-k+1}, m-k+1})(v_m \wedge \dots \wedge v_{m-k+1} \wedge v_{i_{m-k}} \wedge v_{m-k-1} \wedge \dots) \\ = & \dots \\ = & v_{i_m} \wedge \dots \wedge v_{i_{m-k}} \wedge v_{m-k-1} \wedge v_{m-k-2} \wedge \dots \\ = & \psi \end{aligned}$$

$$\Rightarrow v_{i_m} \wedge \dots \wedge v_{i_{m-k}} \wedge v_{m-k-1} \wedge \dots = \rho(E_{i_m, m}) \dots \rho(E_{i_{m-k}, m-k}) \psi_m$$

Darstellung von \mathfrak{gl}_∞ auf F : Unitarität

Definiere **positiv definite Hermitesche Form** $\langle \cdot | \cdot \rangle$ auf F durch

$$\langle (\text{sim})_x \mid (\text{sim})_y \rangle \stackrel{\text{def}}{=} \delta_{xy} .$$

Darstellung von \mathfrak{gl}_∞ auf F : Unitarität

Definiere **positiv definite Hermitesche Form** $\langle . | . \rangle$ auf F durch

$$\langle (\text{sim})_x \mid (\text{sim})_y \rangle \stackrel{\text{def}}{=} \delta_{xy} .$$

Die Form $\langle . | . \rangle$ ist **kontravariant** und ρ ist **unitär**:

$$\langle \rho(a) \psi \mid \psi' \rangle = \langle \psi \mid \rho(a^\dagger) \psi' \rangle$$

Darstellung von \mathfrak{gl}_∞ auf F : Unitarität

Definiere **positiv definite Hermitesche Form** $\langle \cdot | \cdot \rangle$ auf F durch

$$\langle (\text{sim})_x \mid (\text{sim})_y \rangle \stackrel{\text{def}}{=} \delta_{xy} .$$

Die Form $\langle \cdot | \cdot \rangle$ ist **kontravariant** und ρ ist **unitär**:

$$\langle \rho(a) \psi \mid \psi' \rangle = \langle \psi \mid \rho(a^\dagger) \psi' \rangle$$

Die Darstellung ρ von \mathfrak{gl}_∞ auf F ist eine direkte Summe von irreduziblen unitären Darstellungen auf $F^{(m)}$.

Darstellung von \mathfrak{gl}_∞ auf F

$$F^{(m)} = \bigoplus_{k \in \mathbb{Z}_+} F_k^{(m)}$$

Darstellung von \mathfrak{gl}_∞ auf F

$$F^{(m)} = \bigoplus_{k \in \mathbb{Z}_+} F_k^{(m)}$$

Wie wirkt ρ also auf $F_k^{(m)}$?

Darstellung von \mathfrak{gl}_∞ auf F

$$F^{(m)} = \bigoplus_{k \in \mathbb{Z}_+} F_k^{(m)}$$

Wie wirkt ρ also auf $F_k^{(m)}$?

$\rho(E_{ij})$ kann nichts ändern, als ein v_j durch ein v_i zu ersetzen:

$$\rho(E_{ij}) F_k^{(m)} \subset F_{k+i-j}^{(m)}$$

Darstellung von \mathfrak{gl}_∞ auf F

$$F^{(m)} = \bigoplus_{k \in \mathbb{Z}_+} F_k^{(m)}$$

Wie wirkt ρ also auf $F_k^{(m)}$?

$\rho(E_{ij})$ kann nichts ändern, als ein v_j durch ein v_i zu ersetzen:

$$\rho(E_{ij}) F_k^{(m)} \subset F_{k+i-j}^{(m)}$$

Mit $\deg(E_{ij}) \stackrel{\text{def}}{=} i - j$ und $\mathfrak{g}_j := \mathbb{C}\{g \in \mathfrak{gl}_\infty : \deg g = j\}$ gilt dann also

$$\mathfrak{gl}_\infty = \bigoplus_{j \in \mathbb{Z}} \mathfrak{g}_j \quad \text{und} \quad \rho(\mathfrak{g}_j) F_k^{(m)} \subset F_{k+j}^{(m)}.$$

Darstellung von \mathfrak{gl}_∞ auf F

$$\rho(\mathfrak{gl}_l) \psi_m = 0 \quad \text{für } l < 0$$

Darstellung von \mathfrak{gl}_∞ auf F

$$\rho(\mathfrak{gl}_l)\psi_m = 0 \quad \text{für } l < 0$$

Denn: Für $j > m$ ist $\rho(E_{ij})\psi_m$ immer Null.

Sei also $j = m - k$, $k \in \mathbb{Z}_+$.

$$\Rightarrow \rho(E_{i,m-k})(v_m \wedge \dots \wedge v_{m-k+1} \wedge v_{m-k} \wedge \dots)$$

$$= v_m \wedge \dots \wedge v_{m-k+1} \wedge v_i \wedge v_{m-k-1} \wedge \dots$$

Ist aber $i < j = m - k$, dann taucht v_i im Dachprodukt doppelt auf, so dass es verschwindet.

Darstellung von \mathfrak{gl}_∞ auf F

$$\rho(\mathfrak{g}_l)\psi_m = 0 \quad \text{für } l < 0$$

Denn: Für $j > m$ ist $\rho(E_{ij})\psi_m$ immer Null.

Sei also $j = m - k$, $k \in \mathbb{Z}_+$.

$$\Rightarrow \rho(E_{i,m-k})(v_m \wedge \dots \wedge v_{m-k+1} \wedge v_{m-k} \wedge \dots)$$

$$= v_m \wedge \dots \wedge v_{m-k+1} \wedge v_i \wedge v_{m-k-1} \wedge \dots$$

Ist aber $i < j = m - k$, dann taucht v_i im Dachprodukt doppelt auf, so dass es verschwindet.

Darstellung von \mathfrak{gl}_∞ auf F

$$\rho(\mathfrak{g}_l) \psi_m = 0 \quad \text{für } l < 0$$

Denn: Für $j > m$ ist $\rho(E_{ij}) \psi_m$ immer Null.

Sei also $j = m - k$, $k \in \mathbb{Z}_+$.

$$\Rightarrow \rho(E_{i,m-k}) (v_m \wedge \dots \wedge v_{m-k+1} \wedge v_{m-k} \wedge \dots)$$

$$= v_m \wedge \dots \wedge v_{m-k+1} \wedge v_i \wedge v_{m-k-1} \wedge \dots$$

Ist aber $i < j = m - k$, dann taucht v_i im Dachprodukt doppelt auf, so dass es verschwindet.

$$F_k^{(m)} = \sum_{\substack{j_1 + \dots + j_n = k \\ j_1, \dots, j_n \in \mathbb{Z}_+}} \rho_m(\mathfrak{g}_{j_1}) \cdots \rho_m(\mathfrak{g}_{j_n}) \psi_m$$

Darstellung von \mathfrak{gl}_∞ auf F : Höchstgewichte

Sei $\mathfrak{n}_+ \subset \mathfrak{gl}_\infty$ die Unteralgebra bestehend aus strikt oberen Dreiecksmatrizen, $\mathfrak{n}_+ = \bigoplus_{j < 0} \mathfrak{g}_j$, dann gilt

$$\rho_m(\mathfrak{n}_+) \psi_m = 0 \quad \text{und} \quad \rho_m(E_{ii}) \psi_m = \begin{cases} 1 & \text{für } i \leq m \\ 0 & \text{für } i > m \end{cases} \psi_m \stackrel{\text{def}}{=} \lambda_i \psi_m .$$

Darstellung von \mathfrak{gl}_∞ auf F : Höchstgewichte

Sei $\mathfrak{n}_+ \subset \mathfrak{gl}_\infty$ die Unteralgebra bestehend aus strikt oberen Dreiecksmatrizen, $\mathfrak{n}_+ = \bigoplus_{j < 0} \mathfrak{g}_j$, dann gilt

$$\rho_m(\mathfrak{n}_+) \psi_m = 0 \quad \text{und} \quad \rho_m(E_{ii}) \psi_m = \begin{cases} 1 & \text{für } i \leq m \\ 0 & \text{für } i > m \end{cases} \psi_m \stackrel{\text{def}}{=} \lambda_i \psi_m .$$

Definition: Unter Vorgabe einer Menge $\lambda = \{\lambda_i : i \in \mathbb{Z}\} \subset \mathbb{C}$, genannt **Höchstgewicht**, heißt eine Darstellung π_λ von \mathfrak{gl}_∞ auf einem Raum V_λ **irreduzible Höchstgewichtsdarstellung**, falls es einen Vektor $v_\lambda \neq 0$ aus V_λ gibt mit

$$\pi_\lambda(\mathfrak{n}_+) v_\lambda = 0 \quad \text{und} \quad \pi_\lambda(E_{ii}) v_\lambda = \lambda_i v_\lambda .$$

Darstellung von \mathfrak{gl}_∞ auf F : Höchstgewichte

Anwendung auf vorliegenden Fall:

Für alle $m \in \mathbb{Z}$ ist ρ_m eine besondere irreduzible Höchstgewichtsdarstellung, die **Fundamentaldarstellung**, von \mathfrak{gl}_∞ mit dem **fundamentalen Gewicht**

$$\omega_m = \left\{ \lambda_i : \lambda_i = 1 \text{ für } i \leq m; \lambda_i = 0 \text{ für } i > m \right\}.$$

Darstellung von \mathfrak{gl}_∞ auf F : Höchstgewichte

Anwendung auf vorliegenden Fall:

Für alle $m \in \mathbb{Z}$ ist ρ_m eine besondere irreduzible Höchstgewichtsdarstellung, die **Fundamentaldarstellung**, von \mathfrak{gl}_∞ mit dem **fundamentalen Gewicht**

$$\omega_m = \left\{ \lambda_i : \lambda_i = 1 \text{ für } i \leq m; \lambda_i = 0 \text{ für } i > m \right\}.$$

Seien V_1, V_2 irreduzible Höchstgewichtsdarstellungen von \mathfrak{gl}_∞ mit Höchstgewicht-Vektoren v_1, v_2 , so ist $v_1 \otimes v_2$ Höchstgewicht-Vektor einer irreduziblen Unterdarstellung von $V_1 \otimes V_2$, nämlich der **höchsten Komponente**. Die Höchstgewichte addieren sich.

Darstellung von \mathfrak{gl}_∞ auf F : Höchstgewichte

Anwendung auf vorliegenden Fall:

Für alle $m \in \mathbb{Z}$ ist ρ_m eine besondere irreduzible Höchstgewichtsdarstellung, die **Fundamentaldarstellung**, von \mathfrak{gl}_∞ mit dem **fundamentalen Gewicht**

$$\omega_m = \left\{ \lambda_i : \lambda_i = 1 \text{ für } i \leq m; \lambda_i = 0 \text{ für } i > m \right\}.$$

Seien V_1, V_2 irreduzible Höchstgewichtsdarstellungen von \mathfrak{gl}_∞ mit Höchstgewicht-Vektoren v_1, v_2 , so ist $v_1 \otimes v_2$ Höchstgewicht-Vektor einer irreduziblen Unterdarstellung von $V_1 \otimes V_2$, nämlich der **höchsten Komponente**. Die Höchstgewichte addieren sich. Auf diese Weise konstruiert man weitere unitäre irreduzible Höchstgewichtsdarstellungen.

Darstellung von a_∞ auf F

Elemente von \bar{a}_∞ sind *endliche* Linearkombinationen von Diagonalmatrizen der Art

$$a_k = \sum_{i \in \mathbb{Z}} \lambda_i E_{i, i+k} \quad \text{mit} \quad \lambda_i \in \mathbb{C}.$$

Darstellung von \bar{a}_∞ auf F

Elemente von \bar{a}_∞ sind *endliche* Linearkombinationen von Diagonalmatrizen der Art

$$a_k = \sum_{i \in \mathbb{Z}} \lambda_i E_{i, i+k} \quad \text{mit} \quad \lambda_i \in \mathbb{C}.$$

Lässt sich \bar{a}_∞ auch durch ρ auf F darstellen?

Darstellung von \bar{a}_∞ auf F

Elemente von \bar{a}_∞ sind *endliche* Linearkombinationen von Diagonalmatrizen der Art

$$a_k = \sum_{i \in \mathbb{Z}} \lambda_i E_{i, i+k} \quad \text{mit} \quad \lambda_i \in \mathbb{C}.$$

Lässt sich \bar{a}_∞ auch durch ρ auf F darstellen?

$$\begin{aligned} \rho(a_k) \psi_m &= \sum_{i \in \mathbb{Z}} \lambda_i \rho(E_{i, i+k}) \psi_m \\ &= \sum_{i \in \mathbb{Z}} \lambda_i v_m \wedge v_{m-1} \wedge \dots \wedge v_{i+k+1} \wedge v_i \wedge v_{i+k-1} \wedge \dots \\ &= \begin{cases} 0 & \text{für } m - k < i \leq m \text{ und } k \neq 0 \\ \sum_{m < i \leq m-k} \lambda_i \rho(E_{i, i+k}) \psi_m & \text{für } m < i \leq m - k \text{ und } k \neq 0 \\ (\sum_{i \in \mathbb{Z}} \lambda_i) \psi_m & \text{für } k = 0 \end{cases} \end{aligned}$$

Darstellung von a_∞ auf F

$$\begin{aligned}\rho(a_k) \psi_m &= \sum_{i \in \mathbb{Z}} \lambda_i \rho(E_{i, i+k}) \psi_m \\ &= \sum_{i \in \mathbb{Z}} \lambda_i v_m \wedge v_{m-1} \wedge \dots \wedge v_{i+k+1} \wedge v_i \wedge v_{i+k-1} \wedge \dots \\ &= \begin{cases} 0 & \text{für } m - k < i \leq m \text{ und } k \neq 0 \\ \sum_{m < i \leq m-k} \lambda_i \rho(E_{i, i+k}) \psi_m & \text{für } m < i \leq m - k \text{ und } k \neq 0 \\ (\sum_{i \in \mathbb{Z}} \lambda_i) \psi_m & \text{für } k = 0 \end{cases}\end{aligned}$$

Darstellung von a_∞ auf F

$$\begin{aligned} \rho(a_k) \psi_m &= \sum_{i \in \mathbb{Z}} \lambda_i \rho(E_{i, i+k}) \psi_m \\ &= \sum_{i \in \mathbb{Z}} \lambda_i v_m \wedge v_{m-1} \wedge \dots \wedge v_{i+k+1} \wedge v_i \wedge v_{i+k-1} \wedge \dots \end{aligned}$$

$$= \begin{cases} 0 & \text{für } m - k < i \leq m \text{ und } k \neq 0 \\ \sum_{m < i \leq m-k} \lambda_i \rho(E_{i, i+k}) \psi_m & \text{für } m < i \leq m - k \text{ und } k \neq 0 \\ (\sum_{i \in \mathbb{Z}} \lambda_i) \psi_m & \text{für } k = 0 \end{cases}$$

endlich

Darstellung von a_∞ auf F

$$\begin{aligned} \rho(a_k) \psi_m &= \sum_{i \in \mathbb{Z}} \lambda_i \rho(E_{i, i+k}) \psi_m \\ &= \sum_{i \in \mathbb{Z}} \lambda_i v_m \wedge v_{m-1} \wedge \dots \wedge v_{i+k+1} \wedge v_i \wedge v_{i+k-1} \wedge \dots \end{aligned}$$

$$= \begin{cases} 0 & \text{für } m - k < i \leq m \text{ und } k \neq 0 \\ \sum_{m < i \leq m-k} \lambda_i \rho(E_{i, i+k}) \psi_m & \text{für } m < i \leq m - k \text{ und } k \neq 0 \\ (\sum_{i \in \mathbb{Z}} \lambda_i) \psi_m & \text{für } k = 0 \end{cases}$$

endlich

kann divergieren, „Anomalie“

Darstellung von a_∞ auf F

$$\rho(a_k) \psi_m = \begin{cases} 0 & \text{für } m - k < i \leq m \text{ und } k \neq 0 \\ \sum_{m < i \leq m - k} \lambda_i \rho(E_{i,i+k}) \psi_m & \text{für } m < i \leq m - k \text{ und } k \neq 0 \\ (\sum_{i \in \mathbb{Z}} \lambda_i) \psi_m & \text{für } k = 0 \end{cases}$$

Darstellung von a_∞ auf F

$$\rho(a_k) \psi_m = \begin{cases} 0 & \text{für } m - k < i \leq m \text{ und } k \neq 0 \\ \sum_{m < i \leq m-k} \lambda_i \rho(E_{i,i+k}) \psi_m & \text{für } m < i \leq m - k \text{ und } k \neq 0 \\ (\sum_{i \in \mathbb{Z}} \lambda_i) \psi_m & \text{für } k = 0 \end{cases}$$

Ergänze also ρ_m zu $\widehat{\rho}_m$:

$$\widehat{\rho}_m(E_{ij}) \stackrel{\text{def}}{=} \begin{cases} \rho_m(E_{ij}) & \text{für } i \neq j \text{ oder } i = j > 0 \\ \rho_m(E_{ij}) - \mathbb{1} & \text{für } i = j \leq 0 \end{cases}$$

Darstellung von a_∞ auf F

$$\rho(a_k) \psi_m = \begin{cases} 0 & \text{für } m - k < i \leq m \text{ und } k \neq 0 \\ \sum_{m < i \leq m - k} \lambda_i \rho(E_{i,i+k}) \psi_m & \text{für } m < i \leq m - k \text{ und } k \neq 0 \\ (\sum_{i \in \mathbb{Z}} \lambda_i) \psi_m & \text{für } k = 0 \end{cases}$$

Ergänze also ρ_m zu $\widehat{\rho}_m$:

$$\widehat{\rho}_m(E_{ij}) \stackrel{\text{def}}{=} \begin{cases} \rho_m(E_{ij}) & \text{für } i \neq j \text{ oder } i = j > 0 \\ \rho_m(E_{ij}) - \mathbb{1} & \text{für } i = j \leq 0 \end{cases}$$

Darstellung von a_∞ auf F

$$\rho(a_k) \psi_m = \begin{cases} 0 & \text{für } m - k < i \leq m \text{ und } k \neq 0 \\ \sum_{m < i \leq m-k} \lambda_i \rho(E_{i,i+k}) \psi_m & \text{für } m < i \leq m - k \text{ und } k \neq 0 \\ (\sum_{i \in \mathbb{Z}} \lambda_i) \psi_m & \text{für } k = 0 \end{cases}$$

Ergänze also ρ_m zu $\widehat{\rho}_m$:

$$\widehat{\rho}_m(E_{ij}) \stackrel{\text{def}}{=} \begin{cases} \rho_m(E_{ij}) & \text{für } i \neq j \text{ oder } i = j > 0 \\ \rho_m(E_{ij}) - \mathbb{1} & \text{für } i = j \leq 0 \end{cases}$$

$$\Rightarrow \widehat{\rho}_m(a_0) \psi_m = \begin{cases} + \left(\sum_{i=1}^m \lambda_i \right) \psi_m & \text{für } m \geq +1 \\ - \left(\sum_{i=0}^{m+1} \lambda_i \right) \psi_m & \text{für } m \leq -1 \\ 0 & \text{für } m = 0 \end{cases}$$

Darstellung von α_∞ auf F

$\rho_m(E_{ij})$ genügt den Vertauschungsregeln

$$[E_{ij}, E_{mn}] = \delta_{jm} E_{in} - \delta_{ni} E_{mj}$$

Darstellung von α_∞ auf F

$\rho_m(E_{ij})$ genügt den Vertauschungsregeln

$$[E_{ij}, E_{mn}] = \delta_{jm} E_{in} - \delta_{ni} E_{mj}$$

- (i) $[E_{ij}, E_{kl}] = 0$ für $j \neq k, l \neq i$
- (ii) $[E_{ij}, E_{jl}] = E_{il}$ für $l \neq i$
- (iii) $[E_{ij}, E_{ki}] = -E_{kj}$ für $j \neq k$
- (iv) $[E_{ij}, E_{ji}] = E_{ii} - E_{jj}$

Darstellung von α_∞ auf F

$\rho_m(E_{ij})$ genügt den Vertauschungsregeln

$$[E_{ij}, E_{mn}] = \delta_{jm} E_{in} - \delta_{ni} E_{mj}$$

- (i) $[E_{ij}, E_{kl}] = 0$ für $j \neq k, l \neq i$
- (ii) $[E_{ij}, E_{jl}] = E_{il}$ für $l \neq i$
- (iii) $[E_{ij}, E_{ki}] = -E_{kj}$ für $j \neq k$
- (iv) $[E_{ij}, E_{ji}] = E_{ii} - E_{jj}$

$\widehat{\rho}_m(E_{ij})$ genügt jedoch *nicht* (iv), sondern es gilt

$$[\widehat{\rho}_m(E_{ij}), \widehat{\rho}_m(E_{ji})] = \widehat{\rho}_m(E_{ij}) - \widehat{\rho}_m(E_{ji}) + \alpha(E_{ij}, E_{ji}) \mathbb{1}$$

Darstellung von α_∞ auf F

$\rho_m(E_{ij})$ genügt den Vertauschungsregeln

$$[E_{ij}, E_{mn}] = \delta_{jm} E_{in} - \delta_{ni} E_{mj}$$

- (i) $[E_{ij}, E_{kl}] = 0$ für $j \neq k, l \neq i$
- (ii) $[E_{ij}, E_{jl}] = E_{il}$ für $l \neq i$
- (iii) $[E_{ij}, E_{ki}] = -E_{kj}$ für $j \neq k$
- (iv) $[E_{ij}, E_{ji}] = E_{ii} - E_{jj}$

$\widehat{\rho}_m(E_{ij})$ genügt jedoch *nicht* (iv), sondern es gilt

$$[\widehat{\rho}_m(E_{ij}), \widehat{\rho}_m(E_{ji})] = \widehat{\rho}_m(E_{ij}) - \widehat{\rho}_m(E_{ji}) + \alpha(E_{ij}, E_{ji}) \mathbb{1}$$

Darstellung von α_∞ auf F

$$\left[\widehat{\rho}_m(E_{ij}), \widehat{\rho}_m(E_{ji}) \right] = \widehat{\rho}_m(E_{ij}) - \widehat{\rho}_m(E_{ji}) + \alpha(E_{ij}, E_{ji}) \mathbb{1}$$

$$\alpha(E_{ij}, E_{ji}) \stackrel{\text{def}}{=} \begin{cases} -\alpha(E_{ji}, E_{ij}) = 1 & \text{für } m = j \text{ und } n = i \text{ und } i \leq 0 \text{ und } j \geq 1 \\ 0 & \text{sonst} \end{cases}$$

Darstellung von α_∞ auf F

$$\left[\widehat{\rho}_m(E_{ij}), \widehat{\rho}_m(E_{ji}) \right] = \widehat{\rho}_m(E_{ij}) - \widehat{\rho}_m(E_{ji}) + \alpha(E_{ij}, E_{ji}) \mathbb{1}$$

$$\alpha(E_{ij}, E_{ji}) \stackrel{\text{def}}{=} \begin{cases} -\alpha(E_{ji}, E_{ij}) = 1 & \text{für } m = j \text{ und } n = i \text{ und } i \leq 0 \text{ und } j \geq 1 \\ 0 & \text{sonst} \end{cases}$$

$\widehat{\rho}_m$ ist somit eine **projektive Darstellung** von $\bar{\alpha}_\infty$:

$$\widehat{\rho}_m \left(\left[E_{ij}, E_{kl} \right] \right) = \left[\widehat{\rho}_m(E_{ij}), \widehat{\rho}_m(E_{kl}) \right] - \alpha(E_{ij}, E_{kl})$$

Darstellung von α_∞ auf F

$$\left[\widehat{\rho}_m(E_{ij}), \widehat{\rho}_m(E_{ji}) \right] = \widehat{\rho}_m(E_{ij}) - \widehat{\rho}_m(E_{ji}) + \alpha(E_{ij}, E_{ji}) \mathbb{1}$$

$$\alpha(E_{ij}, E_{ji}) \stackrel{\text{def}}{=} \begin{cases} -\alpha(E_{ji}, E_{ij}) = 1 & \text{für } m = j \text{ und } n = i \text{ und } i \leq 0 \text{ und } j \geq 1 \\ 0 & \text{sonst} \end{cases}$$

$\widehat{\rho}_m$ ist somit eine **projektive Darstellung** von $\bar{\alpha}_\infty$:

$$\widehat{\rho}_m \left(\left[E_{ij}, E_{kl} \right] \right) = \left[\widehat{\rho}_m(E_{ij}), \widehat{\rho}_m(E_{kl}) \right] - \alpha(E_{ij}, E_{kl})$$

Darstellung von α_∞ auf F

$$\widehat{\rho}_m \left([E_{ij}, E_{kl}] \right) = \left[\widehat{\rho}_m(E_{ij}), \widehat{\rho}_m(E_{kl}) \right] - \alpha(E_{ij}, E_{kl})$$

Darstellung von \mathfrak{a}_∞ auf F

$$\widehat{\rho}_m \left([E_{ij}, E_{kl}] \right) = \left[\widehat{\rho}_m(E_{ij}), \widehat{\rho}_m(E_{kl}) \right] - \alpha(E_{ij}, E_{kl})$$

Eine **zentrale Erweiterung** verschafft wieder eine *lineare* Darstellung:

$$\mathfrak{a}_\infty := \bar{\mathfrak{a}}_\infty \oplus \mathbb{C}c$$

mit der Lie-Klammer $[a, b] = ab - ba + \alpha(a, b)c$.

Darstellung von \mathfrak{a}_∞ auf F

$$\widehat{\rho}_m \left([E_{ij}, E_{kl}] \right) = \left[\widehat{\rho}_m(E_{ij}), \widehat{\rho}_m(E_{kl}) \right] - \alpha(E_{ij}, E_{kl})$$

Eine **zentrale Erweiterung** verschafft wieder eine *lineare* Darstellung:

$$\mathfrak{a}_\infty := \bar{\mathfrak{a}}_\infty \oplus \mathbb{C}c$$

mit der Lie-Klammer $[a, b] = ab - ba + \alpha(a, b)c$.

Darstellung von \mathfrak{a}_∞ auf F

$$\widehat{\rho}_m \left([E_{ij}, E_{kl}] \right) = \left[\widehat{\rho}_m(E_{ij}), \widehat{\rho}_m(E_{kl}) \right] - \alpha(E_{ij}, E_{kl})$$

Eine **zentrale Erweiterung** verschafft wieder eine *lineare* Darstellung:

$$\mathfrak{a}_\infty := \bar{\mathfrak{a}}_\infty \oplus \mathbb{C}c$$

mit der Lie-Klammer $[a, b] = ab - ba + \alpha(a, b)c$.

Weiterhin: $\widehat{\rho}_m(c) \stackrel{\text{def}}{=} \mathbb{1}$ und $c^\dagger \stackrel{\text{def}}{=} c$

Darstellung von α_∞ auf F

$$\widehat{\rho}_m \left([E_{ij}, E_{kl}] \right) = \left[\widehat{\rho}_m(E_{ij}), \widehat{\rho}_m(E_{kl}) \right] - \alpha(E_{ij}, E_{kl})$$

Eine **zentrale Erweiterung** verschafft wieder eine *lineare* Darstellung:

$$\alpha_\infty := \bar{\alpha}_\infty \oplus \mathbb{C}c$$

mit der Lie-Klammer $[a, b] = ab - ba + \alpha(a, b)c$.

Weiterhin: $\widehat{\rho}_m(c) \stackrel{\text{def}}{=} \mathbb{1}$ und $c^\dagger \stackrel{\text{def}}{=} c$

$\widehat{\rho}_m$ ist **unitäre** Darstellung von α_∞ .

Darstellung von \mathcal{A} auf F

Die kommutative Unteralgebra von $\bar{\mathfrak{a}}_\infty$ der Shift-Operatoren Λ_k wird unter $\widehat{\rho}_m$ zu

$$\left[\widehat{\rho}_m(\Lambda_n), \widehat{\rho}_m(\Lambda_k) \right] = n \delta_{n+k}$$

Darstellung von \mathcal{A} auf F

Die kommutative Unteralgebra von $\bar{\mathfrak{a}}_\infty$ der Shift-Operatoren Λ_k wird unter $\widehat{\rho}_m$ zu

$$\left[\widehat{\rho}_m(\Lambda_n), \widehat{\rho}_m(\Lambda_k) \right] = n \delta_{n+k}$$

Das sind die Vertauschungsrelationen der Oszillator-Algebra \mathcal{A} mit $\hbar = 1!$

Darstellung von \mathcal{A} auf F

Die kommutative Unteralgebra von $\bar{\mathfrak{a}}_\infty$ der Shift-Operatoren Λ_k wird unter $\widehat{\rho}_m$ zu

$$\left[\widehat{\rho}_m(\Lambda_n), \widehat{\rho}_m(\Lambda_k) \right] = n \delta_{n+k}$$

Das sind die Vertauschungsrelationen der Oszillator-Algebra \mathcal{A} mit $\hbar = 1!$

Damit ist eine *fermionische* unitäre Darstellung von \mathcal{A} konstruiert.

Darstellung von \mathbf{Vir} auf F

\mathfrak{d} lässt sich als Unteralgebra von $\bar{\mathfrak{a}}_\infty$ darstellen. Also stellt sich die zentrale Erweiterung von \mathfrak{d} , nämlich \mathbf{Vir} , unter $\widehat{\rho}$ linear in der zentralen Erweiterung von $\bar{\mathfrak{a}}_\infty$ dar, nämlich α_∞ :

$$[\widehat{\rho}(d_i), \widehat{\rho}(d_j)] = (i - j)\widehat{\rho}(d_{i+j}) + \alpha(d_i, d_j)$$

Darstellung von \mathbf{Vir} auf F

\mathfrak{d} lässt sich als Unteralgebra von $\bar{\mathfrak{a}}_\infty$ darstellen. Also stellt sich die zentrale Erweiterung von \mathfrak{d} , nämlich \mathbf{Vir} , unter $\widehat{\rho}$ linear in der zentralen Erweiterung von $\bar{\mathfrak{a}}_\infty$ dar, nämlich α_∞ :

$$[\widehat{\rho}(d_i), \widehat{\rho}(d_j)] = (i - j)\widehat{\rho}(d_{i+j}) + \alpha(d_i, d_j)$$

Der 2-Kozykel berechnet sich nach Definition zu

$$\alpha(d_i, d_j) = \delta_{i+j} \left(\frac{i^3 - i}{12} c_\beta + 2 i h_0 \right) \quad \text{mit}$$

$$c_\beta := -12\beta^2 + 12\beta - 2$$

$$h_m := \frac{1}{2} (\alpha - m) (\alpha + 2\beta - 1 - m)$$

Darstellung von Vir auf F

Somit folgt für die Operatoren

$$L_0 := \widehat{\rho}(d_0) + h_0 \quad \text{und} \quad L_i := \widehat{\rho}(d_i) \quad \text{für } i \neq 0 :$$

$$[L_i, L_j] = (i - j) L_{i+j} + \delta_{i+j} \frac{i^3 - i}{12} c_\beta$$

Darstellung von Vir auf F

Somit folgt für die Operatoren

$$L_0 := \widehat{\rho}(d_0) + h_0 \quad \text{und} \quad L_i := \widehat{\rho}(d_i) \quad \text{für } i \neq 0 :$$

$$[L_i, L_j] = (i - j) L_{i+j} + \delta_{i+j} \frac{i^3 - i}{12} c_\beta$$

Virasoro-Algebra mit zentraler Ladung $c_\beta = -12\beta^2 + 12\beta - 2$

Darstellung von Vir auf F

Somit folgt für die Operatoren

$$L_0 := \widehat{\rho}(d_0) + h_0 \quad \text{und} \quad L_i := \widehat{\rho}(d_i) \quad \text{für } i \neq 0 :$$

$$[L_i, L_j] = (i - j) L_{i+j} + \delta_{i+j} \frac{i^3 - i}{12} c_\beta$$

Virasoro-Algebra mit zentraler Ladung $c_\beta = -12\beta^2 + 12\beta - 2$

Außerdem folgt

$$L_0 \psi_m = h_m \psi_m \quad \text{und} \quad L_i \psi_m = 0 \quad \text{für } i > 0 .$$

Darstellung von Vir auf F

$$\left[L_i, L_j \right] = (i - j) L_{i+j} + \delta_{i+j} \frac{i^3 - i}{12} c_\beta$$

$$L_0 \psi_m = h_m \psi_m \quad \text{und} \quad L_i \psi_m = 0 \quad \text{für } i > 0 .$$

Darstellung von Vir auf F

$$[L_i, L_j] = (i - j) L_{i+j} + \delta_{i+j} \frac{i^3 - i}{12} c_\beta$$

$$L_0 \psi_m = h_m \psi_m \quad \text{und} \quad L_i \psi_m = 0 \quad \text{für } i > 0 .$$

$\{L_i; c_\beta\}$ ist Darstellung der Virasoro-Algebra auf $F^{(m)}$ mit minimalem Eigenwert h_m des Energieoperators L_0 ; sie ist allerdings nicht notwendig unitär.

Zusammenfassung

- Dirac-Theorie ist zu mehr gut als gedacht!

Zusammenfassung

- Dirac-Theorie ist zu mehr gut als gedacht!
- ρ_m ist lineare, irreduzible, unitäre Höchstgewichtsdarstellung von \mathfrak{gl}_∞ auf $F^{(m)}$.

Zusammenfassung

- Dirac-Theorie ist zu mehr gut als gedacht!
- ρ_m ist lineare, irreduzible, unitäre Höchstgewichtsdarstellung von \mathfrak{gl}_∞ auf $F^{(m)}$.
- $\widehat{\rho}_m$ ist lineare, unitäre Darstellung von \mathfrak{a}_∞ auf $F^{(m)}$.

Zusammenfassung

- Dirac-Theorie ist zu mehr gut als gedacht!
- ρ_m ist lineare, irreduzible, unitäre Höchstgewichtsdarstellung von \mathfrak{gl}_∞ auf $F^{(m)}$.
- $\widehat{\rho}_m$ ist lineare, unitäre Darstellung von \mathfrak{a}_∞ auf $F^{(m)}$.
- \mathfrak{d} , **Vir** und \mathcal{A} sind realisiert als Unterdarstellungen von \mathfrak{a}_∞ .